

پهنه‌بندی تأثیر بارش‌های فصلی بر عملکرد دیم در شرق دریاچه ارومیه با روش وارد و K-Means

پرو. محمدی^۱، احمد فاخری‌فرد^{۲*}، یعقوب دین‌پژوه^۳، اسماعیل اسدی^۴

۱. دانش آموخته کارشناسی ارشد مهندسی منابع آب، گروه مهندسی آب، دانشکده کشاورزی، دانشگاه تبریز
۲. استاد، گروه مهندسی آب، دانشکده کشاورزی، دانشگاه تبریز
۳. دانشیار، گروه مهندسی آب، دانشکده کشاورزی، دانشگاه تبریز
۴. استادیار، گروه مهندسی آب، دانشکده کشاورزی، دانشگاه تبریز

(تاریخ دریافت ۱۳۹۵/۱۱/۰۳؛ تاریخ تصویب ۱۳۹۵/۱۲/۲۵)

چکیده

بارش از مهم‌ترین عوامل مؤثر بر عملکرد دیم است. لزوم مدیریت و حفظ منابع آبی ضروری است. هدف اصلی این پژوهش، بررسی تأثیر تغییرات فصلی بارش بر میزان عملکرد سالانه دیم است. از داده‌های بارش ماهانه ۲۶ ایستگاه باران‌سنجی منطقه شرق دریاچه ارومیه طی دوره آماری ۱۳۹۲ تا ۱۳۷۰ استفاده شد. خوشبندی با روش‌های K-Means و وارد انجام شد. بررسی همگنی خوش‌ها با آزمون آماری H صورت گرفت و خوش‌های همگن در محیط GIS رسم شد. میزان تأثیر بارش‌های فصلی با عملکرد سالانه دیم مقایسه شد. نتایج نشان داد اثر بارش در سه فصل بهار، پاییز و زمستان در میزان عملکرد دیم مثبت است و بارش در این فصل‌ها روی افزایش عملکرد تأثیر شایان توجهی دارد. در این سه فصل بارش موجب افزایش ذخیره رطوبت خاک می‌شود که فصل تابستان مصرف‌کننده افزایش ذخیره است و در فصل تابستان رابطه معکوسی بین بارش و عملکرد سالانه دیم وجود دارد. خطوط هم‌بارش فصل‌ها با عملکرد دیم منطقه مطالعه شده به منظور شناسایی مناطق با افزایش توأم بارش و عملکرد دیم رسم شد. نتایج به دست آمده از این خطوط نشان داد در سه فصل بهار، پاییز و زمستان در ایستگاه‌های دریان، لیقوان، خرمزارد، سهلان، هروی، سعیدآباد، شیرین‌کنده، قوری‌گل، تبریز و مغانجیق افزایش بارش با مقدار عملکرد رابطه مستقیم دارد. این مناطق می‌توانند به عنوان مناطق مستعدتر کشت دیم در منطقه شرق دریاچه ارومیه معرفی شود و شناخت تأثیر بارش بر میزان عملکرد دیم این مناطق می‌تواند کاربردی‌تر و قابل اطمینان‌تر باشد.

کلیدواژگان: بارش‌های فصلی، پهنه‌بندی، خوشبندی، شرق دریاچه ارومیه، عملکرد دیم.

خبیصی و همکارانش (۱۳۹۳) ارتباط میان بارش طی دوره رشد و عملکرد گندم دیم را مناسب ارزیابی کردند [۱۱]. با توجه به تأثیر مهمنا عوامل اقلیمی بر عملکرد محصول، بررسی تأثیر بارش فصلی بر عملکرد سالانه دیم در منطقه شرق دریاچه ارومیه ضروری است. این پژوهش با هدف بررسی تأثیرات بارش فصلی مؤثر روی عملکرد و شناسایی مناطق مستعدتر دیم انجام شد.

مواد و روش‌ها

منطقه مطالعه شده در این پژوهش بخش شرقی حوضه آبریز دریاچه ارومیه در شمال غربی ایران است که بین مختصات جغرافیایی $3^{\circ} ۳۵' - ۴۲^{\circ} ۳۵'$ طول شرقی و $۳۸^{\circ} ۲۵' - ۴۴^{\circ} ۳۳'$ عرض شمالی واقع شده است. در این مطالعه از داده‌های ماهانه بارش، ۲۶ ایستگاه باران‌سنگی شرق دریاچه ارومیه طی دوره آماری ۱۳۷۰ – ۱۳۹۲ استفاده شد (جدول ۱). در شکل ۱ موقعیت جغرافیایی منطقه مطالعه شده نشان داده شده است. بازسازی داده‌های گمشده توسط برنامه‌ای انجام گرفت که در محیط برنامه‌نویسی فرترن نوشته شد. با توجه به اینکه گندم محصولی استراتژیک است، آمار عملکرد گندم دیم ۲۳ سال استان آذربایجان شرقی ۱۰ ایستگاه (آذرشهر، اسکو، بستان‌آباد، بناب، تبریز، سراب، شبستر، مراغه، ملکان و هریس) از جهاد کشاورزی استان گرفته شد. با توجه به محدودیت تعداد ایستگاه‌های دارای آمار عملکرد دیم نسبت به ایستگاه‌های باران‌سنگی حوضه شرق دریاچه ارومیه، از روش تیسن‌بندی استفاده شد و برای هر ایستگاه باران‌سنگی با توجه به پلیگون تیسن ایجاد شده یک ایستگاه دارای آمار عملکرد دیم معادل لحاظ شد.

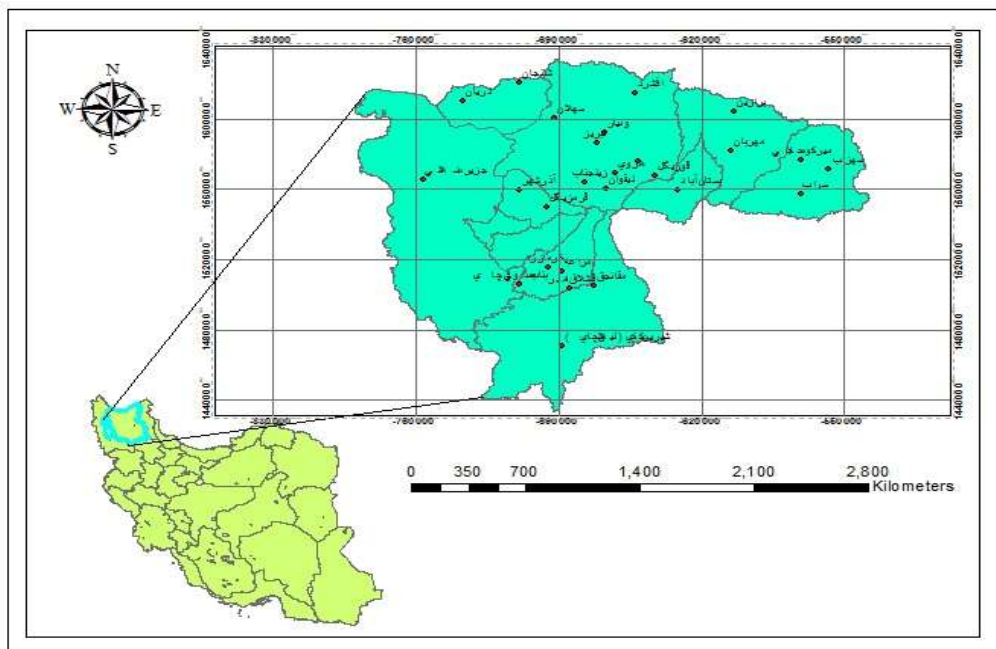
K-Means

روش K-Means، کاربردی‌ترین روش خوشبندی داده‌هاست. این روش اولین بار توسط مک‌کوین (۱۹۶۷) ارائه شد [۱۲]. تعداد خوش‌ها در این روش ثابت و از پیش تعیین شده است. این روش براساس مینیمم کردن مربعات خطای تغییرات درون‌گروهی که معادل با بیشینه کردن تغییرات بین خوش‌هاست، بنا نهاده شده است. بنابراین، هدف کلی این الگوریتم به دست آوردن قسمت‌هایی است که با تعداد ثابت خوش‌ها به طور کلی مربع خطای را کمینه کند. با توجه

مقدمه

میزان بارش طی فصل‌های مختلف بر میزان عملکرد دیم مؤثر است. با توجه به کمبود منابع آب، کشاورزی دیم اهمیت ویژه‌ای دارد و تنها منبع تأمین آب در کشاورزی دیم، بارش است. میزان تولید محصولات کشاورزی به‌ویژه گندم دیم، همبستگی زیادی با نزولات جوی دارد [۱]. اوجه (۱۹۹۸) در سواوانی نیجریه به پهنه‌بندی آگروکلیمایی تولید گندم پرداخت. نتایج تحقیق او نشان داد در یک منطقه تروپیکال مانند نیجریه، اقلیم، فاکتوری بسیار مهم برای رشد گندم است [۲]. نتایج مطالعه مونز دیاس و رودریگو (۲۰۰۴) نشان داد تحلیل خوش‌های برای ارزیابی مکانی-زمانی، توزیع بارش فصلی در اسپانیا مناسب است [۳]. نصیری و همکارانش (۲۰۰۶) میانگین داده‌های ماهانه هواشناسی طی دوره ۱۹۶۸ تا ۲۰۰۰ را بررسی کردند و نتایج تحقیق آنها بیان کننده ارتباط بین میزان کاهش عملکرد گندم و کاهش بارندگی است [۴]. نتایج پژوهش لیو و همکارانش (۲۰۱۰) نشان داد افزایش بارش موجب افزایش شایان توجه عملکرد گندم است [۵]. پاراچو و همکارانش (۲۰۱۶) پهنه‌بندی بارش برای شبه‌جزیره ایبری را با استفاده از مجموعه داده‌های روزانه بارش طی دوره آماری ۱۹۵۱ تا ۲۰۰۳ بررسی کردند و کاربرد روش تحلیل غیرسلسله‌مراتبی K-Means برای خوشبندی انجام دادند و نتایج نشان داد در چهار منطقه میزان بارش سالانه متضایزنند [۶].

نتایج مطالعه عزیزی و یاراحمدی (۱۳۸۲) نشان داد بین عملکرد گندم دیم و میزان بارش پاییزه و بهاره و همچنین تعداد روزهای بارانی دوره مرتبط سال، ارتباط مستقیم وجود دارد؛ اما بین متغیرهای تعداد روزهای یخبندان بهاری و تأخیر در اولین بارش پاییزه، ارتباط معکوس برقرار است [۷]. رسولی و همکارانش (۱۳۸۴) و فیضیزاده و همکارانش (۱۳۹۱) پارامترهای اقلیمی بارش و دما را از شاخص‌های مؤثر در فرایند کشت گندم دیم معرفی کردند [۸ و ۹]. نتایج مطالعه بلیانی و همکارانش (۱۳۹۱) بیان می‌کرد که در بین عناصر اقلیمی بارش سالانه و چگونگی توزیع آن طی فصل رشد ارتباط وجود دارد، همچنین دمای تراکمی مهم‌ترین عامل در فرایند کشت گندم دیم است و بارش در فصل پاییز و زمستان محدودیتی ایجاد نکرده است [۱۰]. هاشمی نسب



شکل ۱. موقعیت جغرافیایی منطقه مطالعه شده

جدول ۱. مشخصات ایستگاه‌های باران سنجی مطالعه شده

شماره ایستگاه	نام ایستگاه	طول جغرافیایی	عرض جغرافیایی	ارتفاع
۱	شیرین کندی	۴۶ ۲۷	۳۷ ۰۲	۱۳۸۰
۲	بنیس شانجان	۴۵ ۹۰	۳۸ ۳۵	۱۶۵۰
۳	دریان	۴۵ ۶۰	۳۸ ۲۳	۱۶۳۰
۴	بستان آباد	۴۶ ۸۳	۳۷ ۸۵	۱۷۵۰
۵	زینجاب	۴۶ ۳۲	۳۷ ۸۶	۲۲۰۰
۶	ونیار	۴۶ ۴۰	۳۸ ۱۲	۱۴۵۰
۷	قشلاق امیر	۴۶ ۲۸	۳۷ ۳۲	۱۵۴۰
۸	قرمزی گل	۴۶ ۱۱	۳۷ ۷۲	۱۶۷۳
۹	سعید آباد	۴۶ ۶۰	۳۷ ۹۸	۱۸۷۵
۱۰	افشد	۴۶ ۵۵	۳۸ ۳۳	۲۰۰۰
۱۱	مهریان	۴۷ ۱۲	۳۸ ۰۷	۱۵۱۰
۱۲	سه زاب	۴۷ ۶۶	۳۸ ۰۰	۱۸۵۰
۱۳	سراب	۴۷ ۵۲	۳۷ ۸۷	۱۶۸۰
۱۴	تبریز	۴۶ ۳۷	۳۸ ۰۷	۱۵۰۰
۱۵	بناب (صوفی چای)	۴۶ ۰۰	۳۷ ۳۲	۱۲۸۳
۱۶	مراغه	۴۶ ۲۳	۳۷ ۴۰	۱۴۷۵
۱۷	آذشهر	۴۵ ۹۶	۳۷ ۸۰	۱۳۴۰
۱۸	برازین	۴۷ ۱۲	۳۸ ۲۷	۱۹۶۲
۱۹	جزیره اسلامی	۴۵ ۴۲	۳۷ ۸۲	۱۲۸۰
۲۰	سهلان	۴۶ ۱۲	۳۸ ۱۸	۱۳۵۰
۲۱	لیقوان	۴۶ ۴۳	۳۷ ۸۳	۲۲۰۰
۲۲	مغانجیق	۴۶ ۴۲	۳۷ ۳۳	۱۶۵۰
۲۳	قروری گل	۴۶ ۷۰	۳۷ ۹۲	۱۸۵۰
۲۴	میرکوه حاجی	۴۷ ۵۰	۳۸ ۰۴	۱۸۳۰
۲۵	خرمازرد	۴۶ ۱۵	۳۷ ۴۲	۱۵۶۰
۲۶	هرزو	۴۶ ۴۸	۳۷ ۹۲	۱۹۲۰

نظیر ضریب تغییرات معمول، L-Skew ضریب چولگی و L-Kurtosis ضریب کشیدگی هستند.
 ۲. مقادیر L-CV، L-Skew و L-Kurtosis (\bar{t} , \bar{t}_3 , \bar{t}_4) ناحیه‌ای برای خوشی یا ناچیه محاسبه شد.
 ۳. میانگین وزنی انحراف معیار CV-ها ای نسبی ایستگاهی به صورت رابطه ۱ محاسبه شد:

$$V_{\text{L}} = \frac{\sum_{i=1}^N n_i (t_r^{(i)} - \bar{t})^2}{\sum_{i=1}^N n_i} \quad (1)$$

برای یک خوشی یا ناچیه حاوی N ایستگاه گشتاورهای خطی میانگین ناحیه‌ای یا گروهی به صورت رابطه ۲ تعریف می‌شود:

$$\bar{t} = \frac{\sum_{i=1}^N n_i t_r^{(i)}}{\sum_{i=1}^N n_i}, \quad \bar{t}_r = \frac{\sum_{i=1}^N n_i t_r^{(i)}}{\sum_{i=1}^N n_i} \quad (2)$$

که در آن n_i و $t_r^{(i)}$ به ترتیب طول داده‌های ثبت شده و گشتاورهای خطی نسبی نسبت در ایستگاه نام خوشی هستند و $t^{(i)}$ ایستگاه نام است.

۴. با استفاده از گشتاورهای خطی نسبی ناحیه‌ای $\bar{t}_1, \bar{t}_2, \bar{t}_3$ و \bar{t}_4 پارامترهای توزیع کاپا یعنی α ، k ، h محاسبه شدند. توزیع یادشده تابع احتمالاتی تراکمی زیر را دارد:

$$F(X) = \left\{ 1 - h \left[\frac{1 - k(X - \xi)}{\alpha} \right]^{\frac{1}{h}} \right\}^h \quad (3)$$

و تابع چگالی احتمال توزیع کاپا به شرح زیر است:

$$f(x) = \frac{1}{\alpha} \left[\frac{1 - k(x - \xi)}{\alpha} \right]^{\frac{1}{h}-1} \quad (4)$$

$$[F(X)]^{-h} \quad \alpha > 0$$

و تابع چندک توزیع کاپا عبارت است از:

$$X(F) = \xi + \frac{\alpha}{K} \left[1 - \left(\frac{1-F}{h} \right)^k \right] \quad (5)$$

۵. تعداد بسیار زیادی خوشی یا ناچیه (N_{Sm}) که هریک N ایستگاه با طول داده‌های مساوی با طول داده‌های ایستگاه‌های خوشی واقعی دارد. با استفاده از توزیع چهارپارامتری کاپا ایجاد شد.

۶. برای هر ناچیه یا خوشی شیوه سازی شده محاسبه شد در نتیجه تعداد N_{Sm} عدد برای V_{IS}

به k خوشة اولیه، از طریق تخصیص داده‌های باقیمانده به نزدیک‌ترین مرکز و پس از آن با راه تغییر عضویت در خوشه‌ها براساس تابع خطای صورت می‌گیرد. این روش برای خوشبندی داده‌های طراحی شد که به صورت عددی (کمی) باشند و خوشه دارای مرکزی به نام (میانگین) باشد. در این روش، ابتدا ایستگاه‌ها به صورت تصادفی به k خوشه تقسیم می‌شوند. در گام بعد، فاصله هر یک از ایستگاه‌ها از مرکز خوشه خود محاسبه می‌شود. در صورتی که فاصله ایستگاه مدنظر از میانگین خوشه خود زیاد و به خوشه دیگری نزدیک‌تر باشد، این شیء به خوشه‌ای اختصاص می‌یابد که نزدیک‌تر است. این کار آن قدر تکرار می‌شود تا تابع خطای حداقل شود، و یا اعضای خوشه‌ها تغییر نکند [۱۳].

روش وارد

وارد (۱۹۶۳) روشی برای خوشبندی داده‌ها ارائه کرد که یکی از روش‌های خوشبندی سلسله‌مراتبی است [۱۴]. در این روش ابتدا هریک از ایستگاه‌ها به صورت خوشة جدگانه‌ای در نظر گرفته می‌شوند. سپس در هر گام دو شیء با هم ادغام می‌شوند. این کار به قدری تکرار می‌شود تا در پایان کار، خوشة یکتاپی شکل گیرد. در این روش، در هر گام، همه ترکیب‌های دوتایی ممکن از ادغام دیده می‌شود و شاخصی به نام مجموع مربعات خطای SSE محاسبه می‌شود. هر ترکیبی که خطای کمتری داشته باشد، برگزیده می‌شود و بر پایه آن ادغام انجام می‌پذیرد. روشن است که هر بار مقدار حداقل خطای افزایش می‌یابد. این کار به قدری تکرار می‌شود تا همه ایستگاه‌ها با هم ادغام شوند و خوشة یکتاپی به وجود آید. گاهی از این روش با نام «کمترین واریانس» یاد می‌شود [۱۳].

در این تحقیق برای آزمون همگنی خوشه‌ها از آماره H توسط هوسکینگ (۱۹۹۳) که براساس گشتاورهای خطی مشاهداتی استاندارد شده بر مبنای گشتاورهای داده‌های مصنوعی بهترین توزیع برازش داده شده بر داده‌های مشاهداتی ایجاد می‌شود [۱۵] استفاده شده است. آزمون H-Statistics طی مراحل زیر انجام شد:

۱. مقادیر L-CV و L-Skew L-Kurtosis (برای t, t_3, t_4)
۲. هر ایستگاه واقع در یک خوشه محاسبه شدن. L-CV

اگر $H \leq 2$ باشد، خوشه یا ناحیه همگنی ملایم خواهد داشت.

اگر $H > 2$ باشد، خوشه یا ناحیه کاملاً ناهمگن خواهد بود [۱۵].

برای انجام خوشبندی با روش‌های K-Means وارد، ابتدا داده‌های ۲۶ ایستگاه باران‌سنجی برای چهار فصل جداگانه مرتب شدند که برای هر سال، آمار مربوط به آن فصل استفاده شد. داده‌های فصلی بارش و عملکرد دیم سالانه به صورت آرایه 23×26 به دست آمد. (۲۳ مربوط به تعداد سال‌ها و ۲۶ مربوط به تعداد ایستگاه‌ها)، در خوشبندی داده‌های فصلی بارش و عملکرد دیم، ایستگاه‌ها به عنوان متغیر در نظر گرفته شد. این ماتریس به عنوان ورودی روش K-Means وارد در نرم‌افزار SPSS استفاده شد. سپس با استفاده از آزمون آماره H همگنی هر یک از خوشبندی‌های به دست آمده بررسی شد. در نهایت، پهنه‌بندی خوشبندی‌های همگن به کمک نرم‌افزار GIS صورت گرفت.

نتایج و بحث

نتایج پهنه‌بندی روش وارد

منطقه مطالعه شده براساس روش وارد از لحاظ بارش فصلی و عملکرد دیم به دو خوشبندی همگن تقسیم شد. بررسی خوشبندی‌های به دست آمده با آزمون H انجام گرفت که خوشبندی اول بارش در فصل‌های بهار و زمستان و عملکرد دیم کاملاً همگن و خوشبندی دوم همگنی ملایم دارد. خوشبندی‌های اول و دوم بارش در فصل تابستان به ترتیب دارای همگنی ملایم و کاملاً همگن و خوشبندی اول و دوم بارش فصل پاییز کاملاً همگن است. نتایج مربوط به مقدار آماره آزمون همگنی بارش فصل‌ها و عملکرد دیم در جدول ۲ ارائه شده است. در پهنه‌بندی بارش فصل بهار خوشبندی اول ایستگاه‌های مهریان، افسرده، جزیره اسلامی، آذرشهر، قرمزی‌گل، مغان‌جیق و شیرین‌کندي را پوشش می‌دهد. خوشبندی دوم بقیه ایستگاه‌های شرق، شمال غربی، مرکز و بخشی از جنوب منطقه مطالعه شده را در بر گرفته است. در پهنه‌بندی بارش فصل تابستان، خوشبندی دوم شامل ایستگاه‌های بستان‌آباد، سه‌هزاب، سراب، میرکوه حاجی و قرمزی‌گل و خوشبندی اول، شامل بقیه ایستگاه‌های است. در پهنه‌بندی بارش فصل پاییز خوشبندی اول قسمت جنوب منطقه مطالعه شده و ایستگاه آذرشهر را توجیه می‌کند. خوشبندی دوم شامل مرکز، شرق، شمال و بخشی از

حاصل شد که میانگین و انحراف معیار آنها یعنی $\mu_{V_{rs}}$ و $\sigma_{V_{rs}}$ به دست آمد.

۷. عدد همگنی (معیار همگنی) H با عنوان- H از طریق رابطه ۶ محاسبه می‌شود:

$$H_1 = \frac{V_1 - \mu_{V_{rs}}}{\sigma_{V_{rs}}} \quad (6)$$

که در آن V_1 برای خوشبندی واقعی است. می‌توان معیار همگنی H را بر مبنای گشتاورهای خطی مراتب بالاتر یعنی L-Kurtosis و L-Skew به جای V_1 دیگر معیارهای تغییرپذیری بین ایستگاه‌های گشتاورهای خطی مثل L-Skew و L-CV و میانگین شبیه‌سازی شده آنها به کار می‌برند.

به ازای L-CV و L-Skew می‌توان V_2 را به دست آورد:

$$V_2 = \frac{\sum_{i=1}^N n_i [(t_r^{(i)} - \bar{t})^2 + (t_r^{(i)} - \bar{t}_r)^2]^{1/2}}{\sum_{i=1}^N n_i} \quad (7)$$

به ازای L-Kurt و L-Skew می‌توان V_3 را از رابطه زیر تخمین زد:

$$V_3 = \frac{\sum_{i=1}^N n_i (t_r^{(i)} - \bar{t}_r)^2 + (t_r^{(i)} - \bar{t}_r)^2]^{1/2}}{\sum_{i=1}^N n_i} \quad (8)$$

V_2 متوسط وزنی (توزین شده) فاصله گشتاورهای L-CV-Skew at- site و V_3 میانگین وزنی فاصله گشتاورهای L-CV-Skew و V_4 از گشتاورهای میانگین ناحیه‌ای L-Skew-Kurt at- site است بنابراین، مقادیر را می‌توان از رابطه ۹ تخمین زد:

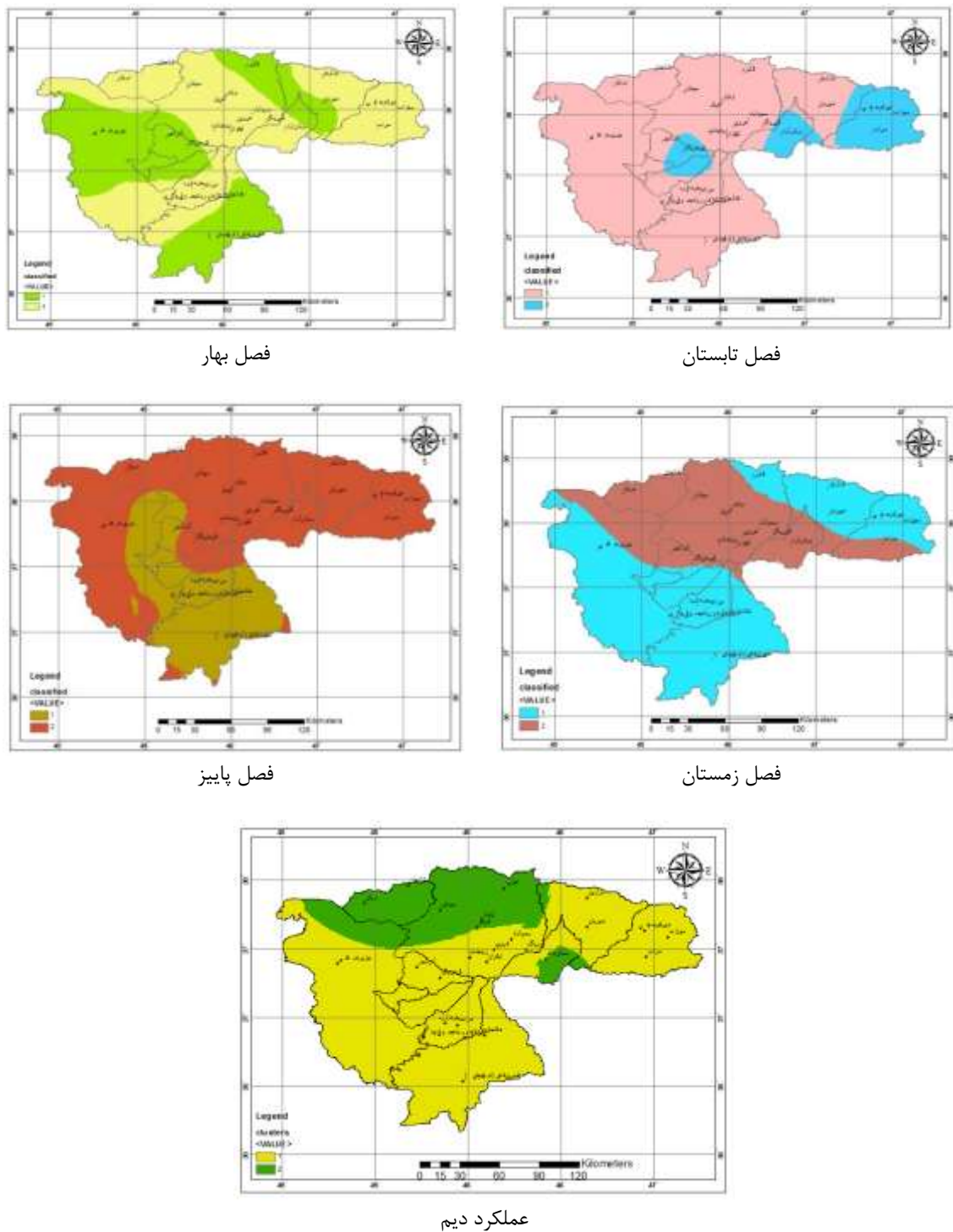
$$H_r = \frac{V_r - \mu_{V_{rs}}}{\sigma_{V_{rs}}}, \quad H_{rs} = \frac{V_{rs} - \mu_{V_{rs}}}{\sigma_{V_{rs}}} \quad (9)$$

که در آن $\mu_{V_{rs}}$ میانگین خوشبندی‌های شبیه‌سازی از طریق $\sigma_{V_{rs}}$ انحراف معیار خوشبندی‌های شبیه‌سازی از طریق $\mu_{V_{rs}}$ میانگین خوشبندی‌های شبیه‌سازی از طریق V_3 و $\sigma_{V_{rs}}$ انحراف معیار خوشبندی‌های شبیه‌سازی از طریق V_3 هستند. آزمون H-Statistics به صورت زیر ارزیابی همگنی را انجام می‌دهد:

اگر $H \leq 1$ باشد، خوشبندی کاملاً همگن خواهد بود.

شمال شرقی، جنوب، غرب و مرکز منطقه مطالعه شده است. خوشة دوم قسمت هایی از شمال، شمال غرب و ایستگاه بستان آباد را توجیه می کند. در شکل ۲ مناطق همگن بارش چهار فصل و عملکرد دیم با روش وارد نشان داده است.

غرب است. نتایج پهنه بندی بارش فصل زمستان، خوشة اول قسمتی از شرق، شمال، جنوب و ایستگاه جزیره اسلامی و خوشة دوم مرکز، شمال غرب و ایستگاه سراب را در بر گرفته است. در پهنه بندی عملکرد دیم خوشة اول شامل قسمت



شکل ۲. مناطق همگن شرق دریاچه ارومیه بر مبنای بارش فصلی و عملکرد دیم با روش وارد

بارش چهار فصل و عملکرد دیم با روش K-Means را نشان می‌دهد.

نتایج خوشبندی بارش فصلی با دو روش یادشده نشان داد سه فصل بهار، پاییز و زمستان از نظر ایستگاه‌های واقع در هر خوشه با عملکرد دیم همخوانی و سازگاری بیشتری دارند. در این سه فصل مقدار بارش ورودی کافی است که در افزایش میزان عملکرد دیم مؤثر است. به طور کلی، این سه فصل تأثیر مثبت در زمینه عملکرد دیم و قابل اطمینان تر دارند.

خطوط هم‌بارش فصل‌ها با عملکرد دیم منطقه مطالعه شده رسم شد که از این خطوط به‌منظور شناسایی مناطقی استفاده شد که افزایش تأمین بارش و عملکرد دیم وجود دارد. شکل ۴ خطوط هم‌بارش و هم‌عملکرد منطقه شرق دریاچه ارومیه طی دوره ۱۳۹۲-۱۳۷۰ را نشان می‌دهد. با استفاده از تغییرات مکانی ارتباط بین بارش و عملکرد بهتر نشان داده می‌شود. نتایج این خطوط نشان داد در سه فصل بهار، پاییز و زمستان در ایستگاه‌های دریان، لیقوان، خرمزارد، سهلان، هروی، سعیدآباد، شیرین‌کندي، قوری‌گل، تبریز و مغانچيق افزایش بارش با مقدار عملکرد رابطه مستقيمه دارد. اين مناطق می‌توانند به عنوان مناطق مستعدتر کشت دیم در منطقه شرق دریاچه ارومیه معرفی شود و شناخت تأثیر بارش بر میزان عملکرد دیم اين مناطق می‌تواند كاربردي تر باشد. بنابراین، قسمت‌هایی از شمال غربی، مرکز و جنوب مناطق مستعدتر کشت دیم در منطقه مطالعه شده هستند که میزان عملکرد دیم در این مناطق می‌تواند مناسب‌تر باشد.

نتایج پهنه‌بندی روش K-Means

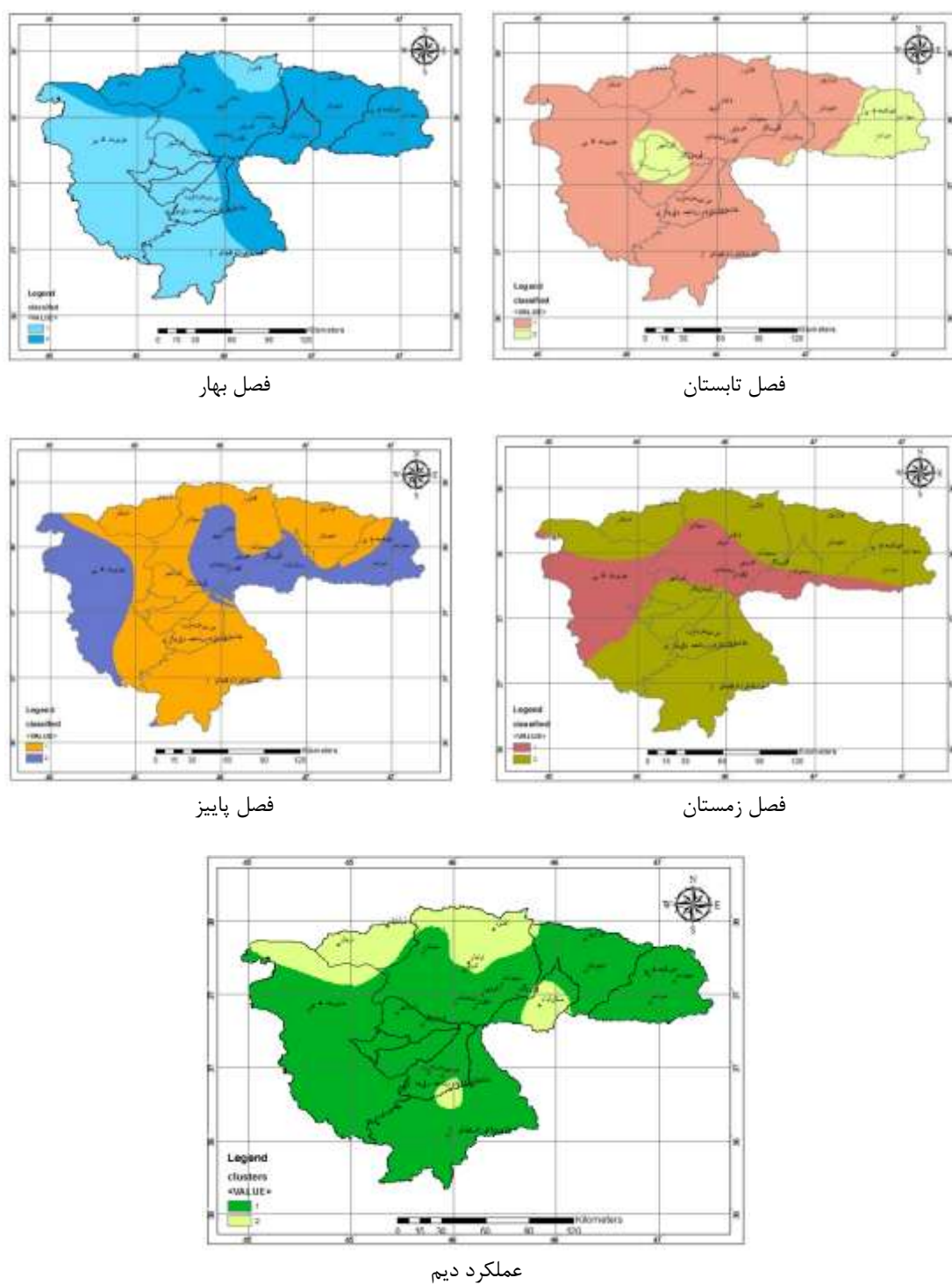
خوشبندی بارش در چهار فصل و عملکرد دیم با روش K-Means منطقه مطالعه شده را دو خوشة همگن تفکیک کرد. بررسی همگنی خوشه‌ها با آزمون H نشان داد خوشة اول بارش در فصل بهار و پاییز کاملاً همگن و خوشة دوم دارای همگنی ملایم است. خوشه‌های اول و دوم بارش در فصل تابستان و عملکرد دیم همگنی ملایم دارند. خوشة اول فصل زمستان همگنی ملایم و خوشة دوم کاملاً همگن است (جدول ۳). در پهنه‌بندی بارش فصل بهار، خوشة اول بخشی از جنوب غربی، غرب و ايستگاه افشد و خوشة دوم مرکز، شمال غربی و شرق منطقه مطالعه شده را پوشش می‌دهد. در پهنه‌بندی بارش فصل تابستان خوشة اول قسمت بيشتر مساحت را در بر گرفته است. خوشة دوم ايستگاه‌های سه‌زاب، سراب، ميرکوه حاجي، آذرشهر و قرمزي گل را توجيه می‌کند. براساس پهنه‌بندی بارش فصل پاییز، خوشة اول شامل بخشی از شرق، شمال غرب، غرب و جنوب و خوشة دوم قسمتی از مرکز، ايستگاه‌های سه‌زاب، سراب و جزيره اسلامی را پوشش می‌دهد. نتایج پهنه‌بندی بارش فصل زمستان خوشة اول ايستگاه‌های بستان آباد، هروی، لیقوان، تبریز، سهلان، زینجاب و جزيره اسلامی و خوشة دوم بقیه ايستگاه‌ها را در بر گرفته است. براساس نتایج پهنه‌بندی عملکرد دیم، خوشة اول پهنه‌بندی عملکرد دیم شمال شرقی، جنوب، غرب و مرکز منطقه مطالعه شده را توجيه می‌کند. ناحیه دوم قسمت‌هایی از شمال، شمال غرب و ايستگاه بستان آباد و قشلاق امير را در بر گرفته است. شکل ۳ مناطق همگن

جدول ۲. مقدار آماره آزمون همگنی H با روش وارد

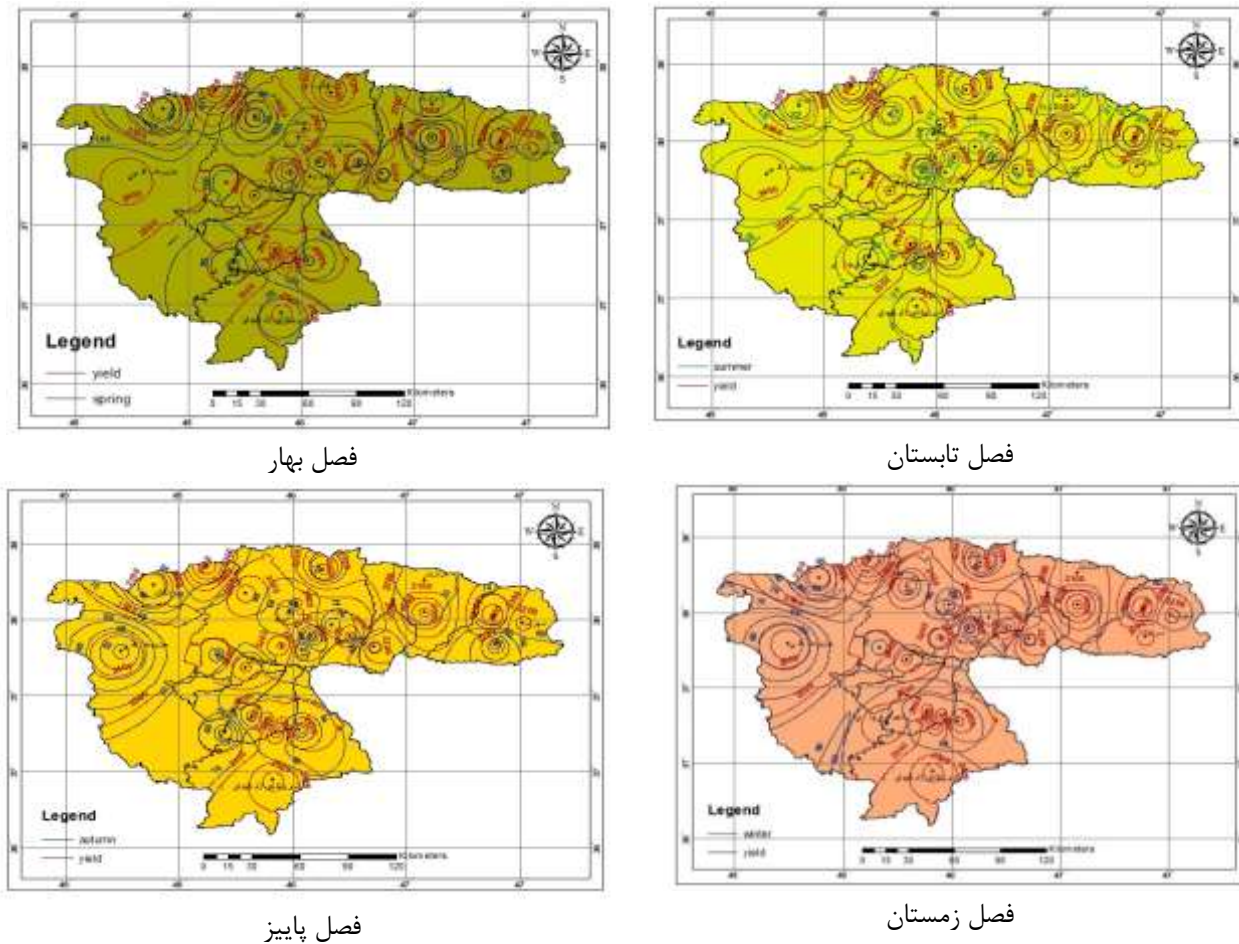
شماره خوشه	فصل بهار	فصل تابستان	فصل پاییز	فصل زمستان	عملکرد دیم
۱	۰/۶۰	۱/۵۱	۰/۶۶	۰/۶۴	۰/۸۵
۲	۱/۲۳	۰/۷۲	۰/۸۷	۱/۸۳	۱/۴۳

جدول ۳. مقدار آماره آزمون همگنی H با روش K-Means

شماره خوشه	فصل بهار	فصل تابستان	فصل پاییز	فصل زمستان	عملکرد دیم
۱	۰/۶۴	۱/۲۵	۰/۴۶	۱/۹۶	۱/۹۸
۲	۱/۴۰	۱/۱۳	۱/۱۵	۰/۴۷	۱/۴۳



شکل ۳. مناطق همگن شرق دریاچه ارومیه بر مبنای بارش فصلی و عملکرد دیم با روش K-Means



شکل ۴. خطوط هم عملکرد و هم باران فصلی شرق دریاچه ارومیه طی دوره ۱۳۹۲-۱۳۷۰

افزایش بارش در فصل‌های بهار، پاییز و زمستان در منطقه شرق دریاچه تأثیر مثبتی در میزان عملکرد و حفظ منابع آبی خواهد داشت. همچنین شناسایی مناطق مستعدتر دیم برای حفظ و مدیریت منابع آب با وجود مسئله بحران آب در کشور امری ضروری است. شناسایی این مناطق برای افزایش امنیت عملکرد محصول دیم می‌تواند به منظور افزایش پتانسیل کشاورزی قابل استفاده باشد. همچنین با توجه به اینکه رویکرد کشور برای مبارزه با کم‌آبی روی آوردن به کشت دیم است، لازم است مناطق مستعد دیم شناسایی شوند که فقط بارش تغذیه‌کننده آنهاست. بنابراین، از نظر مدیریت منابع آب به منظور بهینه‌سازی مصرف می‌تواند کارایی داشته باشد. کاهش مصرف آب در خصوص دریاچه ارومیه عامل مهمی است. نتایج همچنین بیان می‌کند که استفاده از خطوط هم بارش و خطوط هم عملکرد دیم مناطقی معرفی شد که تأثیر بارش چهار فصل بر عملکرد سالانه دیم، قابلیت اعتماد بیشتری دارد.

نتیجه‌گیری

نتایج بدست‌آمده از این پژوهش نشان داد پارامتر اقلیمی بارش در سه فصل بهار، پاییز و زمستان در میزان عملکرد دیم مؤثر است و بارش در این فصل‌ها روی افزایش عملکرد تأثیر شایان توجهی دارد، اما در فصل تابستان اثر بارش معکوس است. در فصل تابستان کشت دیم به ثمر رسیده است، به تبع بارش در میزان عملکرد دیم در این فصل تأثیری نخواهد داشت. حتی بارش‌های با شدت زیاد می‌تواند تأثیر معکوس از نظر تلفات خوشها ایجاد کند و برداشت را دچار مشکل بکند. از نظر هیدرولوژیکی کاملاً بی‌تأثیر بر میزان عملکرد خواهد بود. همچنین نتایج دو روش خوشبندی K-Means و وارد بیانگر این بود که خوشبندی دو روش یادشده با خوشبندی عملکرد دیم تطابق داشته است. بررسی تأثیرات بارش‌های فصلی بر افزایش میزان عملکرد سالانه محصول دیم، از نظر مدیریت منابع آبی و تأمین امنیت غذایی اهمیت دارد، بنابراین با

- using regression model case study of sliding Sylankhor. *Journal of Geographical Research.* 2003; 44:23-29. (Persian)
- [8]. Rasouli AA, Ghasemi GHolazani K, Sobhani B. The Role of precipitation and height in determining for cultivation of rainfed wheat using GIS (Case study: Ardebil), *Journal of Geography and Development.* 2005; 3:183-200. (Persian)
- [9]. Feizizadeh B, Blaschke T. Land suitability analysis for Tabriz County, Iran: a multi-criteria evaluation approach using GIS. *Journal of Environmental Planning and Management.* 2013; 56(1):1-23. (Persian)
- [10]. Balyani y, Hajarizadeh Z, Farjai A, Biat A. Agricultural climatic zoning of wheat cultivation using Geographic Information System Case Study: Fars province. *Journal of Physical Geography.* 2012; 5 (15): 33-50. (Persian)
- [11]. Hasheminasb FS, Mousavi BM, Balhtiari B, Bannayan M. The Effects of Rainfall on Dryland Wheat Yield and Water Requirement Satisfaction Index at Different Time Scales. *Iranian of Irrigation and Water Engineering.* 2014; 5 (17): 1-13. (Persian)
- [12]. MacQueen J. Some methods for classification and analysis of multivariate observations. InProceedings of the fifth Berkeley symposium on mathematical statistics and probability 1967; 1 (14): 281-297.
- [13]. Moemeni M. Data clustering 2nd Tehran. Mansour Momeni. 2014. (Persian)
- [14]. Ward Jr JH. Hierarchical grouping to optimize an objective function. *Journal of the American statistical association.* 1963; 58(301): 236-244.
- [15]. Hosking JR, Wallis JR. Some statistics useful in regional frequency analysis. *Water resources research.* 1993; 29(2):271-281.
- همچنین با توجه به بررسی این خطوط نواحی مستعدتر کشت دیم شناسایی شد. بنابراین، اثر بارش‌ها در میزان عملکرد سالانه دیم، در سه فصل بهار، پاییز و زمستان، در قسمت‌های شمال غربی، مرکز و جنوب شایان توجه است که رابطه مستقیم با عملکرد دارد؛ اما در فصل تابستان رابطه معکوسی بین بارش و عملکرد سالانه دیم وجود دارد.
- منابع
- [1]. Dinar A, editor. *Measuring the impact of climate change on Indian agriculture.* World Bank Publications; 1998; 402 p.
- [2]. Oche CY. Agroclimatic zonation for wheat production in the savanna region of Nigeria. *Singapore Journal of Tropical Geography.* 1998; 19(1): 39-50.
- [3]. Munoz-Diaz D, Rodrigo FS. Spatio-temporal patterns of seasonal rainfall in Spain (1912-2000) using cluster and principal component analysis: comparison. *InAnnales Geophysicae.* 2004; 22 (5): 1435-1448.
- [4]. Nassiri M, Koocheki A, Kamali GA, Shahandeh H. Potential impact of climate change on rainfed wheat production in Iran: (Potentieller Einfluss des Klimawandels auf die Weizenproduktion unter Rainfed-Bedingungen im Iran). *Archives of agronomy and soil science.* 2006; 52(1): 113-124.
- [5]. Liu S, Mo X, Lin Z, Xu Y, Ji J, Wen G, Richey J. Crop yield responses to climate change in the Huang-Huai-Hai Plain of China. *Agricultural water management.* 2010; 97(8):1195-209.
- [6]. Parracho AC, Melo-Gonçalves P, Rocha A. Regionalisation of precipitation for the Iberian Peninsula and climate change. *Physics and Chemistry of the Earth, Parts A/B/C.* 2016; 94:146-154.
- [7]. Azizi GH, Yarahmadi D. The relationship between climatic parameters and wheat yield